



OFICINA ESPAÑOLA DE PATENTES Y MARCAS

ESPAÑA



11) Número de publicación: 2 742 298

51 Int. CI.:

G05B 23/02 (2006.01)

(12)

TRADUCCIÓN DE PATENTE EUROPEA

T3

Fecha de presentación y número de la solicitud europea: 05.08.2014 E 14179842 (1)
 Fecha y número de publicación de la concesión europea: 22.05.2019 EP 2837984

(54) Título: Proceso para optimizar el mantenimiento de sistemas técnicos

(30) Prioridad:

05.08.2013 AT 504912013

(45) Fecha de publicación y mención en BOPI de la traducción de la patente: 13.02.2020

(73) Titular/es:

UPTIME HOLDING GMBH (100.0%) Schönaugasse 7/2 8010 Graz, AT

(72) Inventor/es:

HASELGRUBER, NIKOLAUS; LANGMAYR, FRANZ y GRAY, CHRISTOPHER

(74) Agente/Representante:

ARIAS SANZ, Juan

DESCRIPCIÓN

Proceso para optimizar el mantenimiento de sistemas técnicos

Antecedentes

5

15

20

El planteamiento estándar de mantenimiento se basa en acciones programadas o reactivas, es decir, la actividad comienza después de un fallo. Esto conduce a altos costes implicados y tiempo de inactividad debido a eventos imprevistos. Esto motiva la demanda de mantenimiento preventivo basado en condición.

Tal planteamiento requiere la identificación de actividades de mantenimiento a ser realizadas con el fin de evitar fallos. Con este fin, es necesario detectar desviaciones del comportamiento del sistema y diagnosticar la causa raíz de esta observación.

10 Es necesario un pronóstico adicional de la evolución del fallo para la clasificación de severidad y organización de contramedidas adecuadas.

Tecnología de vanguardia

El mantenimiento basado en condición exige un desencadenante para iniciar las actividades. El desencadenante se genera normalmente mediante la identificación del comportamiento discrepante del sistema: la detección del estado se basa en la medición de los datos del sistema (medición de vibración, SCADA (condición de supervisión y adquisición de datos) y

- análisis estadístico (serie temporal, correlación cruzada)
- detección de transición de umbral (predefinidos, límites de alarma codificados por programa)
- análisis residual de datos medidos frente a valores esperados del estado del sistema dañado (Señal Inteligente)

Patentes relevantes

- WO 08/043762, Ecotécnica energías renovables

trata la fatiga mecánica

Un sistema de control basado en equipos sensores y disposición para medir estados y carga de aerogenerador.

- 25 Objetivo: optimización de operación para minimizar la fatiga mecánica
 - WO 09/053365, Ecotécnica energías renovables

describe la evaluación de los daños por fatiga basada en la clasificación del flujo de lluvia de los ciclos de torsión, estrictamente conforme a la bibliografía estándar

- WO 90/027509, Vestas
- Método de evaluación de un emplazamiento de parque eólico con respecto a los costes de mantenimiento. El análisis se basa en los parámetros del viento (incluyendo datos estadísticos del mantenimiento del parque eólico).
 - US 2002000723A

Optimización de operación de aerogenerador basada en datos medidos de un sistema de sensores.

- La optimización se logra a través de ajustes de parámetros modificados según la velocidad real del viento.
 - WO 09/016020A

relacionada con la monitorización de condición

Se envía una señal, si un gradiente de un valor medido excede un máximo predefinido.

- US 2005/090937A y US 2004/230377A
- 40 relacionadas con la arquitectura SCADA y la monitorización en tiempo real
 - JP 2004-150974A

Monitorización y evaluación de operación basada en medición de vibraciones

- US 2009/096406A, General Electric

Se proporcionan un método y un sistema para determinar la fiabilidad y un tiempo restante antes del fallo de un sistema de motor DC. El método y el sistema pueden determinar la fiabilidad y un tiempo restante antes de un fallo con una confianza estadística. El método y el sistema pueden incluir adquirir datos históricos del motor, obtener datos operativos, realizar análisis de fallos, desarrollar una red causal y realizar una red causal integrada y un análisis de fiabilidad del sistema de motor DC.

- US 2009/096405A, General Electric

5

10

15

30

35

Se proporcionan un método y un sistema para predecir de manera remota la fiabilidad y el tiempo restante antes de un fallo de un sistema de motor AC. El método y el sistema pueden determinar de manera remota la fiabilidad y un tiempo restante antes de un fallo con una confianza estadística utilizando un pronosticador de condición de motor AC. El método y el sistema pueden incluir adquirir datos históricos del motor, obtener datos operativos, realizar análisis de fallos, desarrollar una red causal y realizar una red causal y un análisis de fiabilidad integrados del sistema de motor AC. El método y el sistema pueden proporcionar al menos una notificación de un problema con el sistema de motor AC o al menos un componente del sistema de motor AC.

- US 2009/039650A, General Electric

Identificación de resultados mediante combinación de señales

- WO 09/075649 A, Vestas

Adquisición de datos de aerogeneradores para comparación y posterior derivación de medidas

- US 2009/037206A, Caterpillar

Se describe un método de predicción de mantenimiento de una máquina. El método incluye medir un parámetro de la máquina, el parámetro que es indicativo de una condición de la máquina, y transferir el parámetro medido a un sistema de planificación de mantenimiento. El método también incluye la predicción de dos o más curvas de variación de parámetros que indican la variación del parámetro a lo largo del tiempo, cada curva de variación de parámetros que representa valores del parámetro a un nivel de confianza diferente. El método incluye además identificar un primer período de tiempo para el mantenimiento de la máquina en base a las dos o más curvas de variación de parámetros.

- US 2004/030524A, Departamento de Energía de EE.UU., Batelle Memorial Inst.

Métodos y sistemas para analizar la degradación y fallo de sistemas mecánicos

Se describen métodos y sistemas para identificar, comprender y predecir la degradación y el fallo de sistemas mecánicos. Los métodos incluyen medir y cuantificar los factores de estrés que son responsables de la activación de los mecanismos de degradación en el componente de interés de la máquina. La intensidad del factor de estrés se puede correlacionar con la tasa de degradación física según alguna función determinable de manera que exista una relación derivada entre el rendimiento de la máquina, la degradación y el factor de estrés subyacente. La relación derivada se puede usar para hacer cálculos de diagnóstico y pronóstico concernientes al rendimiento y la vida proyectada de la máquina. Estos cálculos se pueden realizar en tiempo real para permitir que el operador de la máquina ajuste rápidamente los parámetros operativos de la maquinaria con el fin de ayudar a minimizar o eliminar los efectos del mecanismo de degradación, prolongando por ello la vida de la máquina. También se describen varios sistemas que implementan los métodos.

- GB200807775 A0,
- 40 Métodos para diagnóstico de caja de cambios basado en modelo
 - US 2011/0018727 A1, Honeywell

Un método y un sistema implementados por ordenador incluyen el uso de información proporcionada desde sensores para monitorizar un generador de aerogenerador y proporcionar señales representativas de la operación del generador del aerogenerador, extraer características de nivel de señal de las señales, extraer características basadas en modelo de las señales, calcular conclusiones basadas en señal, conclusiones basadas en modelo y conclusiones basadas en refuerzo de características espectrales, y fundir las conclusiones para proporcionar una indicación de detección de fallos.

Otros ejemplos relevantes de la técnica anterior se pueden encontrar en el documento WO2011/054005 y en el documento US2008/059840.

50

Defectos de las soluciones actuales

- Los límites predefinidos de alarma codificados por programa son de menor eficiencia para la detección del inicio del fallo y los precursores en la medida que
 - se fijan con respecto a la operación estacionaria a plena carga. No obstante, la mayoría del tiempo de operación real está en carga parcial y, por lo tanto, no contribuye a la detección. De este modo, no se puede derivar ningún resultado robusto en realidad.
 - son solamente límites superior o inferior para el observable correspondiente. No se consideran la evolución de tiempo del comportamiento del sistema y los gradientes de observables.
 - no están adaptados a las características específicas de turbinas individuales (HS, SW), lo que da como resultado anchos de banda extendidos, es decir, una reducción de la sensibilidad a las desviaciones y, de este modo, una reducción del tiempo de preaviso.
- La fracción de falsas alarmas es alta en la medida que
 - un resultado de la dispersión de los valores de medición y de la dispersión de los parámetros individuales de turbina (ajustes de control).
 - la gran fracción de turbinas sanas frente a defectuosas conduce a un gran número de falsos errores, perjudicando la usabilidad práctica de tal sistema (consideración de Bayes).
- Los sistemas de monitorización se crean en base a los datos disponibles, es decir, sin el análisis del sistema inicial o la especificación objetivo. Esto conduce solamente a una cobertura parcial de la disponibilidad y los riesgos que limitan la vida útil (modos de fallo)
 - Dado que no hay una evaluación inicial de las posibilidades de fallo, no es evidente, cuáles de los modos de fallo relevantes son detectables. De este modo, algunos tipos de alarmas se están omitiendo debido a la falta de observables relacionados o análisis de datos.
 - Si los datos predefinidos se usan como base para un sistema de monitorización, el tipo y la clasificación de los datos no reflejan los modos de fallo, lo que perjudica la posible calidad del resultado.
 - Si la evaluación se basa en el modelado del comportamiento discrepante del sistema (como lo hacen Cat y Smart Signal), esto se debe realizar cuantitativamente correcto (para la cantidad de deriva y para la cinética) para todos los modos de fallo relevantes. No obstante, para algunos de ellos la verificación es imposible (por ejemplo, debido a problemas de seguridad, costes o daños al sistema).
 - Sensores e instrumentación adicionales aumentan la complejidad técnica del sistema monitorizado. De este modo, se reduce posiblemente la fiabilidad. Este compromiso no se cuantifica en la medida que está omitiendo la referencia para la evaluación.
 - En la bibliografía científica, hay modelos de daños aplicables en la práctica (basados en observables en turbinas), solamente para ciertos modos de fallo (envejecimiento, fatiga). De este modo, las actividades de mantenimiento preventivo se pueden especificar solamente para estos casos particulares, a partir de los cuales no se puede esperar un aumento general de la disponibilidad del sistema.

Con estas limitaciones en mente, se debería reconocer que, en muchos casos, las técnicas disponibles de detección de fallos entregarán inevitablemente una cantidad significativa de falsas alarmas. La introducción de cualquiera de tales sistemas está asociada con el coste y el esfuerzo, además, las falsas alarmas en sí mismas a menudo dan como resultado un esfuerzo significativo, dado que deben ser investigadas correctamente. Por lo tanto, dada la elección de varios de tales sistemas de monitorización, cada uno con su limitación asociada en términos de una cierta probabilidad de falsas alarmas, la tarea es hacer una selección correcta de las técnicas de monitorización que, sin embargo, dan como resultado el nivel objetivo de disponibilidad para el sistema monitorizado.

45 Planteamiento:

La invención se define en las reivindicaciones adjuntas.

Los pasos básicos del método de la invención son:

- a. Obtener datos físicos del sistema registrados mediante instrumentos de medición que son relevantes para el estado del sistema;
- 50 b. Establecer una programación óptima de intervalos de servicio basada en tiempo en la que se eligen intervalos de servicio para minimizar las expectativas de tiempo de inactividad;

5

10

15

20

25

30

35

- c. Calcular el tiempo de inactividad esperado debido a una reparación no planificada causada por diferentes modos de fallo:
- d. Establecer un plan basado en condición para reparar o sustituir componentes del sistema usando los datos del paso a) con el fin de minimizar el tiempo de inactividad debido a una reparación no planificada, preferiblemente bajo la consideración de la capacidad de reconocer un modo de fallo y la precisión de este reconocimiento cuantificada por probabilidades de falsas alarmas.

En el paso a), preferiblemente, las series de tiempo de datos físicos del sistema se registran mediante instrumentos de medición con una primera tasa de muestreo predefinida.

Por supuesto, el mantenimiento real se dirige según el plan anterior.

5

15

20

25

30

35

40

45

50

Típicamente, el paso d) se realiza como un bucle en el que los modos de fallo se tratan uno por uno, es decir, que el mantenimiento basado en condición se introduce paso a paso. Esto se hace siempre que los resultados generales no sean satisfactorios.

Es importante señalar, que el mantenimiento basado en condición no es necesariamente mejor que el mantenimiento basado en tiempo. Primeramente, implica costes, pero también si la calidad de predicción es baja, el tiempo de inactividad puede ser mayor debido a falsas indicaciones de fallos y fallos reales no predichos, que se explicarán más tarde en detalle.

Se describe un proceso para establecer un mantenimiento preventivo (basado en condición) optimizado de parques eólicos o sistemas técnicos complejos similares. Las actividades aspiran a prevenir fallos debidos a todos esos modos de fallo, que están limitando la disponibilidad y la vida útil de accesorios de aerogeneradores según razonamiento experto.

La optimización tiene lugar en dos etapas principales: en la primera etapa se evalúa la estrategia de mantenimiento basada en tiempo y, cuando es posible, se mejora la reasignación de actividades específicas a los intervalos de mantenimiento más adecuados y la posible redefinición de los intervalos en sí mismos. En la segunda etapa, los modos de fallo se analizan individualmente con el fin de determinar la extensión a la que se pueden aplicar la introducción de la monitorización de condición y, posteriormente, el mantenimiento basado en condición para mejorar la disponibilidad general del sistema.

Durante este procedimiento, se elige un modo de fallo después de otro, para la introducción de monitorización de condición y el establecimiento de un plan basado en condición que comienza desde el que tiene la mayor mejora de disponibilidad hasta que esté satisfaciéndose una disponibilidad general del sistema. La mejora de disponibilidad es mayor para cada modo de fallo cuanto más largo sea el tiempo de inactividad en caso de fallo, y cuanto más preciso sea posible predecir los fallos por mantenimiento basado en condición.

Descripción del procedimiento "Estrategia de mantenimiento combinado"

1. Seleccionar el sistema técnico que consiste en componentes y sensores definidos

En este paso, se definen las condiciones de contorno del sistema técnico a ser monitorizado. En particular, se identifican todos los sensores y fuentes de datos que son parte de la configuración estándar del sistema.

La salida de este paso es una descripción del sistema formulada como un árbol jerárquico de componentes que interactúan entre sí, incluyendo una lista de todos los datos, en general sensoriales, que se generan automáticamente cuando el sistema está en el modo de operación normal. La lista de datos contiene una descripción de los canales de datos, la frecuencia de muestreo, el intervalo de análisis sintáctico, el formato de datos y la ubicación del almacenamiento de datos.

2. Establecer un objetivo previsto de vida útil y disponibilidad del sistema

La vida útil prevista del sistema θ_L [h] es el período de vida útil del sistema a ser monitorizado. El objetivo de disponibilidad A_{TARG} para el sistema se da como la proporción mínima del tiempo operativo total en el que el sistema necesita funcionar como se espera. Típicamente, se da como porcentaje y se evalúa por períodos de tiempo definidos, por ejemplo, por mes, trimestre o año.

3. ¿Potencial de fallo del sistema definido?

Cuando se aplica este nuevo proceso a un sistema complejo, puede darse el caso de que el fallo potencial para el sistema ya esté definido. Por ejemplo, puede que ya se haya llevado a cabo un Análisis de Modo y Efecto de Fallo (FMEA) en el contexto de actividades pasadas donde se han identificado todos los modos de fallo potencial del sistema.

Si ya hay suficiente información acerca de los modos de fallo, ésta se tomará e integrará en el proceso de monitorización de condición. De otro modo, han de ser llevados a cabo los siguientes pasos (3.1 a 3.4).

3.1 Clasificar todos los modos de fallo conocidos

5

15

25

30

35

45

Cada modo de fallo potencial se clasifica con respecto a su componente de causa raíz y se describe suficientemente. La salida de este paso es una lista de n_F modos de fallo con asignaciones al componente de causa raíz (o subsistema), así como indicadores de daños (variables medibles) y modelos de daños físicos o estocásticos para cada modo de fallo.

Los modos de fallo identificados se supone que son independientes unos de otros, es decir, la aparición de un modo de fallo no tiene ningún impacto en la aparición de cualquier otro modo de fallo. Para cadenas de causa-efecto de modos de fallo, consecuentemente solamente el modo de fallo de causa raíz se ha de considerar aquí. Cualquier fallo consecuente se ha de considerar en el tiempo de inactividad y los costes del modo de fallo de causa raíz.

10 3.2 Configurar los modelos de vida útil del sistema para cada modo de fallo

En la bibliografía (referencias), la distribución de Weibull se conoce como un modelo apropiado para la descripción estadística de la vida útil de sistemas técnicos. Una distribución de Weibull se puede describir mediante un parámetro de forma β y un parámetro de escala η , donde el parámetro de forma describe el cambio del riesgo de fallar con el tiempo y el parámetro de escala es la vida útil característica, es decir, el tiempo hasta que aproximadamente el 63% de la población cae. La experiencia ha demostrado que la distribución de Weibull es capaz de modelar el comportamiento de la vida útil para una amplia gama de modos de fallo diferentes, pero los parámetros β y η pueden variar de un modo de fallo a otro. En base a los datos históricos de tiempo hasta el fallo para cualquier modo de fallo i (i = 1, ..., η_F), se estiman los parámetros específicos β_i y η_i .

3.3 Definir métricas de fiabilidad por modo de fallo

20 Los datos históricos de tiempo hasta el fallo y de tiempo hasta la reparación se analizan por separado para cada modo de fallo i = 1, ..., n_F, y se promedian durante el intervalo de tiempo definido, por ejemplo, mes, trimestre, etc. para determinar

- la tasa de fallos λ_i , calculada como el número de fallos observados dividida por el tiempo total de operación en el período de tiempo. La tasa de fallos está vinculada a los parámetros de Weibull β_i y η_i en la medida que la base de los datos para el cálculo es la misma para ambos casos, es decir, bajo la suposición de que la tasa de fallos constante con el tiempo es $\lambda_i \approx 1$ / MTTF $_i$ con MTTF $_i$ = ($\eta_i \Gamma(1 + 1/\beta_i)$).
- el tiempo de inactividad promedio por fallo τ_i, definido como el valor medio de todo el tiempo específico desde el apagado desencadenado por fallo hasta el reinicio después del arreglo del problema. Se supone que el τ_i es sustancialmente más pequeño que el MTTF_i.
- la precisión del modelo de Weibull, denotada como $\pi_i \in [0; 1]$ mediante la aplicación de los modelos definidos en 3.2 en los datos históricos. Cuanto mayor sea π_i , más preciso será el modelo.

Por modo de fallo, el potencial de reducción del tiempo de inactividad se calcula como $\kappa_i = \lambda_i * \tau_i$.

3.4 Identificar los modos de fallo más efectivos con respecto a κ_i / π_i

Los modos de fallo están ordenados con respecto a la disminución de $\kappa^*_i = \kappa_i / \pi_i$. De este modo, una mala calidad del modelo penaliza el efecto del modo de fallo en la disponibilidad. De la lista ordenada $\kappa^*_{(1)}$, $\kappa^*_{(2)}$, ..., $\kappa^*_{(r)}$ modos de fallo se eliminan siempre que $\Sigma_{i>r}$ $\kappa^*_{(i)} > (1 - A_{TARG})$. Los n_F - r modos de fallo restantes son aquellos con los valores κ más grandes y los más prometedores para el aumento de disponibilidad mediante la aplicación de una estrategia de mantenimiento optimizada. Posteriormente se hace referencia a ellos como modos de fallo de alto impacto.

- 4. ¿Plan de mantenimiento de referencia incluyendo tiempos de arreglo de modo de fallo definidos?
- Si está disponible cualquier plan de mantenimiento de referencia para los modos de fallo de alto impacto, se usa en la estrategia de mantenimiento optimizada. De otro modo, se han de llevar a cabo los siguientes pasos (4.1 a 4.4).
 - 4.1 Identificación de tiempos de arreglo de modo de fallo

Los siguientes valores de tiempo esperados se han de identificar para cada modo de fallo de alto impacto i. Al contrario de T_i, estos valores proporcionan detalles específicos de cada caso de las actividades de reparación.

- El tiempo de reparación normal tNRT,i es el tiempo [h] que se requiere normalmente para arreglar el fallo si se detecta durante un servicio de mantenimiento planificado
 - El tiempo de reparación no planificado tURT,i [h] es el tiempo que se requiere normalmente para arreglar el fallo si ocurre sin planificar

- El retraso de respuesta de emergencia tERD,i [h] considera los tiempos de reposición de piezas de repuesto o los tiempos de configuración de herramienta potenciales, así como la disponibilidad de los técnicos de servicio
- El tiempo de acceso de emergencia tEAT,i [h] es el tiempo requerido para llevar a los técnicos y las herramientas a la ubicación del activo

Cada acción de reparación se supone que es igual a una renovación del sistema completo. Es decir, después de cada reparación, se supone que el sistema funciona tan bien como si estuviera nuevo. En los casos en que se viola esta propiedad de renovación, las vidas útiles características de los modos de fallo afectados se han de acortar en consecuencia.

10 4.2 Determinar intervalos de servicio óptimos

5

30

35

40

45

Para cada uno de los modos de fallo de alto impacto, se ha de determinar el intervalo óptimo de servicio θ_i . Este es el período de tiempo en el que la suma del tiempo de inactividad planificado y no planificado, que corresponde a la indisponibilidad debida a la aparición del modo de fallo i, $A_{SYS,i}$, es mínima.

- 4.3 Configurar tareas de mantenimiento estándar
- 15 Configurar una lista de tareas de mantenimiento estándar M₁, ..., M_m (sustitución del lubricante de la caja de cambios, sustitución de filtros y juntas, mediciones del par de los pernos, etc.) y asignar a cada modo de fallo de alto impacto al menos una tarea de mantenimiento.
 - 4.4 Definir la programación de intervalos de servicio
- La programación de intervalos de servicio es un plan con intervalos separados por igual para las actividades de 20 mantenimiento.

La programación se inicializa con θ^*_i = min_i θ_i . Esto define la anchura del intervalo entre dos acciones de mantenimiento planificadas. Para cada uno de los modos de fallo de alto impacto, el intervalo de servicio específico θ^*_i se define según las siguientes reglas:

- 1. Debe ser un múltiplo de θ_i^* .
- 25 2. Debe ser menor o igual a θ_i .
 - 5. Calcular la probabilidad de fallo esperada por modo de fallo

Para cada uno de los modos de fallo de alto impacto, se calcula la probabilidad de fallo esperada p_i . Esta es la evaluación de la función de distribución acumulada de la distribución de Weibull a la hora del servicio. Es decir, $p_i = 1$ - exp $(-(\theta^*_i/\eta_i)^{\beta_i})$. Debido al hecho de que la transformación X^{β} de una variable aleatoria de distribución de Weibull ($X \sim Wb(\eta,\beta)$) sigue una distribución exponencial con el parámetro η^{β} , el número de actividades de mantenimiento no planificadas esperado n_{UPM} en el intervalo θ^*_i se estima por θ^*_i/η^{β} .

6. Predecir el número esperado de actividades de mantenimiento durante la vida por modo de fallo

Para cada modo de fallo de alto impacto, se calcula el número de actividades de mantenimiento debido a la aparición de cualquier modo de fallo durante la vida útil del sistema θ_L . Para el modo de fallo de alto impacto i, el número de acciones de mantenimiento planificadas es el mayor número entero menor o igual que θ_L/θ^*_i =: $n_{TBM,i}$ que es el número total de cambios planificados. El número de cambios no planificados adicionales se espera que sea menor que $(n_{TBM,i}+1)^*$ n_{UPM} de modo que el número máximo de cambios según el modo de fallo i sea $n_{TBM,i}+(n_{TBM,i}+1)^*$ n_{UPM} . Se denota como número máximo dado que en los casos donde un mantenimiento no planificado está cerrado antes de una acción de mantenimiento planificada entonces durante la acción de mantenimiento planificada no se cambiarán los componentes afectados. Además, el período desde la última acción de mantenimiento planificada hasta el final de la vida θ_L en general será más corto que θ^*_i .

7. Calcular el tiempo de inactividad del sistema durante la vida útil por modo de fallo

Por modo de fallo, cada acción de mantenimiento planificada se pondera con el tiempo de reparación normal t_{NRT} y para cada reparación no planificada, se consideran el tiempo de reparación no planificado t_{URT} , el retardo de respuesta de emergencia t_{ERD} y el tiempo de acceso de emergencia t_{EAT} , de modo que el tiempo de inactividad total del sistema durante la vida útil causado por el modo de fallo i es $t_{DOWN,i}$ = $n_{TBM,i}$ * $t_{NRT,i}$ + n_{UPM} * ($t_{URT,i}$ + $t_{ERD,i}$ + $t_{EAT,i}$).

8. Calcular la disponibilidad general del sistema debido a modos de fallo de alto impacto

Aunque las acciones de reparación podrían llevarse a cabo en paralelo, al menos en el caso de actividades de mantenimiento planificadas, con el fin de proporcionar una estimación conservadora, se supone que se llevan a cabo

de manera secuencial de modo que el tiempo de inactividad del sistema durante la vida útil por modo de fallo se calcula como $t_{DOWN} = \Sigma_i t_{DOWN,i}$. En consecuencia, la disponibilidad del sistema es $A_{SYS} = (\theta_L * (1 - \Sigma_{i < r} \kappa_{(i)}) - t_{DOWN})/\theta_L$.

- 9. Comparar la disponibilidad esperada con el objetivo de disponibilidad
- Si la disponibilidad después de la optimización basada en tiempo es mayor que el objetivo, es decir, A_{SYS} ≥ A_{TARG}, entonces la estrategia de mantenimiento basada en tiempo parece ser suficiente para alcanzar el objetivo de disponibilidad.
 - 9b. Comprobar el valor r y considerar una iteración adicional de la optimización de mantenimiento basada en tiempo

De otro modo, se debería intentar una optimización adicional considerando los modos de fallo adicionales (siempre que estén disponibles, es decir, r > 0) en la optimización de mantenimiento basada en tiempo. Obsérvese que en esta iteración de optimización adicional, se deberían considerar los valores actualizados de π_i por modo de fallo. Si r = 0 y todavía $A_{SYS} < A_{TARG}$ se propone una introducción selectiva de una estrategia de mantenimiento basado en condición.

10. Calcular el efecto de las apariciones no planificadas de los modos de fallo de alto impacto

Para comprobar para cada modo de fallo de alto impacto si el mantenimiento basado en tiempo se debería sustituir por el mantenimiento basado en condición, calcular la efectividad potencial como $(\theta_L / \text{MTTF}_i)^*$ $(t_{\text{URT},i} + t_{\text{ERD},i} + t_{\text{EAT},i} - t_{\text{NRT}})$.

11. Clasificar los modos de fallo de alto impacto según su efectividad sobre la disponibilidad

Clasificar los modos de fallo de alto impacto según el potencial de efectividad decreciente y definir el modo de fallo de rango uno como el modo de fallo activo para la configuración de la estrategia de mantenimiento basado en condición.

12. Decidir si el modo de fallo activo es adecuado para el mantenimiento basado en condición

No todos los modos de fallo de alto impacto son adecuados para el mantenimiento basado en condición. Los modos de fallo solamente son adecuados si los fenómenos de degradación asociados se pueden detectar con los datos (sensoriales) proporcionados por el sistema y si existen modelos de daños físicos o estocásticos adecuados para procesar estos datos y comparar la salida del modelo con un valor umbral que predice la presencia del modo de fallo. Los canales de medición requeridos se han detectado en el paso 3.1. Si el sistema proporciona estos canales y el horizonte de pronóstico $\tau_{p,i}$, es decir, el tiempo entre la detección fiable y la aparición del modo de fallo activo i es mayor que ($t_{ERD,i} + t_{EAT,i}$), entonces el modo de fallo activo es adecuado para mantenimiento basado en condición. De otro modo, seleccionar el modo de fallo con el siguiente rango de eficacia más alto y repetir este paso. Si no queda ningún modo de fallo de alto impacto, el procedimiento termina aquí sin alcanzar el objetivo de disponibilidad. Nota: Si el mantenimiento basado en condición no se puede aplicar al modo de fallo activo, configurar $\tau_{p,i} = 0$.

12.1 Capacidad estadística para modo de fallo activo bajo mantenimiento basado en condición

Para el modo de fallo activo i la precisión de predicción se ha de evaluar en base a las probabilidades definidas en la siguiente tabla de contingencias.

Predicción Real de Estado	Fallo	Sano	Total
Fallo indicado	p _{TP,i}	p _{FP,i}	p _{P.,i}
Fallo no indicado	p _{FN,i}	рти,і	р _{N.,i}
Total	p _i	1 - p _i	1

35

40

5

10

15

20

25

30

La columna suma $p_i = p_{TP,i} + p_{FP,i}$ y $(1 - p_i) = p_{TN,i} + p_{FN,i}$ son las proporciones de tiempo de inactividad y de tiempo de actividad del sistema con respecto al modo de fallo activo i. En el paso 5., p_i se ha determinado. Además, la proporción de falsas alarmas, $p_{FP,i}$, / $(1 - p_i)$, se puede determinar analizando los datos históricos de alarma. Debido a que $p_{P,i} = p_{TP,i} + p_{FP,i}$ y $p_{N,i} = p_{FN,i} + p_{TN,i}$, la tabla de contingencia está completamente definida por esos cuatro estados. Los índices TN, FN, FP, TN denotan estados de Verdadero Negativo, Falso Negativo, Falso Positivo y Verdadero Negativo, respectivamente.

12.2 Tiempo de inactividad para modo de fallo activo bajo mantenimiento basado en condición

El tiempo de inactividad para la aparición del modo de fallo activo i bajo mantenimiento basado en condición se deriva de los siguientes componentes:

Predicción	Estado Real	Componente de tiempo	Tiempos de inactividad
Fallo indicado	Fallo	t _{TP,i}	t _{NRT,i}
Fallo indicado	Sano	$t_{FP,i}$	t _{EAT,i}
Fallo no indicado	Fallo	$t_{FN,i}$	$t_{\text{URT,i}} + t_{\text{EAT,i}} + t_{\text{ERD,i}}$
Fallo no indicado	Sano	t _{TN,i}	0

12.3 Calcular el tiempo de inactividad total esperado para modo de fallo activo

Para determinar el tiempo de inactividad total para el modo de fallo activo cuando se aplica mantenimiento basado en condición en lugar de mantenimiento basado en tiempo, se requiere el número de fallos esperados durante la vida útil, $n_{CBM,i}$. Es el número entero más pequeño mayor o igual que θ_L / MTTF_i, donde el Tiempo Medio Hasta el Fallo MTTF_i = $(n_i \Gamma(1+1/\beta_i))$.

Para el modo de fallo activo i, que ocurre n_{CBMi} veces durante la vida útil prevista del sistema θ_L , se calcula un nuevo tiempo de inactividad total para el modo de fallo activo:

$$t^*_{DOWN,i} = n_{CBM,i} * ((p_{TP,i} * t_{TP,i} + p_{FN,i} * t_{FN,i}) / p_i + p_{FP,i} * t_{FP,i} / (1 - p_i))$$

13. Decidir si el mantenimiento basado en condición es efectivo

Si el tiempo de inactividad bajo el mantenimiento basado en condición $t^*_{DOWN,i}$ es mayor o igual que el tiempo de inactividad correspondiente bajo el mantenimiento basado en tiempo, $t_{DOWN,i}$, es decir, $t^*_{DOWN,i} \ge t_{DOWN,i}$ entonces el planteamiento basado en condición para el modo de fallo activo i es ineficaz y, por lo tanto, se rechaza y el siguiente fallo de alto impacto se define como un nuevo modo de fallo activo. Si no hay ningún modo de fallo de alto impacto adicional, el proceso termina sin haber alcanzado el objetivo de disponibilidad.

De otro modo, si el mantenimiento basado en condición es efectivo, es decir, $t^*_{DOWN,i} < t_{DOWN,i}$, entonces la disponibilidad general A_{SYS} se recalcula con $t^*_{DOWN,i}$ en lugar de $t_{DOWN,i}$. Si $A_{SYS} \ge A_{TARG}$, el proceso se puede terminar dado que se alcanzará el objetivo de disponibilidad. De otro modo, el siguiente fallo de alto impacto se define como un nuevo modo de fallo activo. Si no hay ningún modo de fallo de alto impacto adicional, el proceso termina sin haber alcanzado el objetivo de disponibilidad.

La Fig. 1 muestra en un diagrama el porcentaje de tiempo de inactividad debido a reparaciones planificadas frente al tiempo de inactividad debido a reparaciones no planificadas, así como el tiempo de inactividad total;

La Fig. 2a y la Fig. 2b muestran un diagrama de flujo de un método de las presentes invenciones;

La Fig. 3 a la Fig. 8 muestran tablas usadas en el método de la invención.

25

5

10

15

REIVINDICACIONES

- 1. Un método para mantener sistemas complejos, preferiblemente aerogeneradores, que comprende los siguientes pasos:
- a. Obtener datos físicos del sistema registrados mediante instrumentos de medición que son relevantes para el estado del sistema:
 - b. Establecer una programación óptima de intervalos de servicio basada en tiempo en la que se eligen intervalos de servicio para minimizar las expectativas de tiempo de inactividad;
 - c. Calcular el tiempo de inactividad esperado debido a una reparación no planificada causada por diferentes modos de fallo; en donde los modos de fallo se analizan individualmente con el fin de determinar la medida en la que la posible introducción de monitorización de condición y de establecimiento de un plan basado en condición para reparar o sustituir componentes podría mejorar la disponibilidad del sistema;
 - d. Establecer un plan basado en condición para reparar o sustituir componentes del sistema usando los datos del paso a) con el fin de minimizar el tiempo de inactividad debido a una reparación no planificada, en donde un modo de fallo después del otro se elige para la introducción de monitorización de condición y de establecimiento de un plan basado en condición que comienza desde el que tiene la mayor mejora de disponibilidad hasta que sea satisfactoria una disponibilidad general del sistema.
- 2. El método de la reivindicación 1, en donde en el paso a) las series de tiempo de datos físicos del sistema se registran mediante instrumentos de medición con una primera tasa de muestreo predefinida.
- 3. El método de una de las reivindicaciones 1 o 2, en donde la distribución de Weibull se usa para una representación estadística de modelos de vida útil para cada modo de fallo.
 - 4. El método de una de las reivindicaciones 1 a 3, en donde

5

10

15

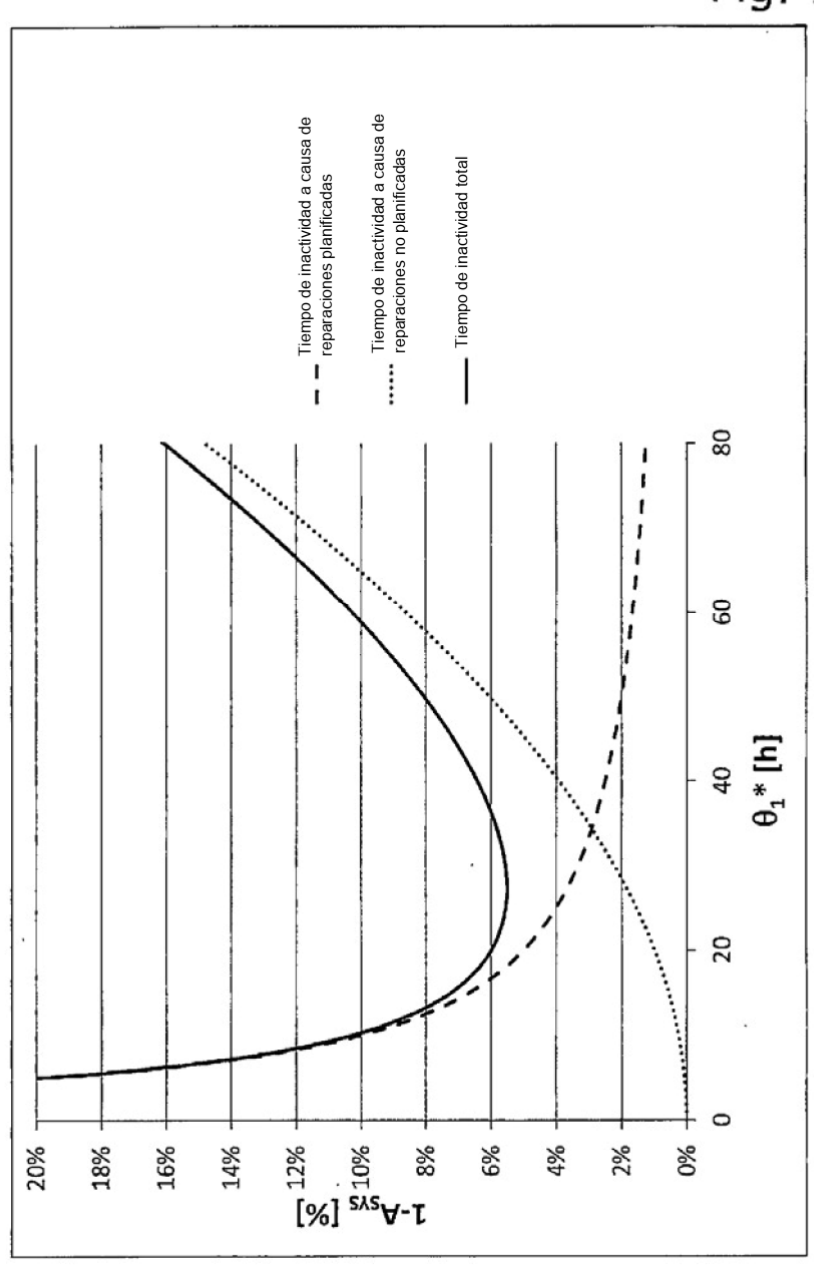
20

- a. para cada modo de fallo, se determina el intervalo óptimo de servicio θ_i , donde la indisponibilidad debida a la aparición del modo de fallo i está al mínimo;
- b. se determina el mínimo θ^*_1 , en donde el mínimo θ^*_1 es el mínimo de todos los θ_i ;
- c. se identifican modos de fallo de alto impacto, que son los más prometedores para el aumento de la disponibilidad mediante la aplicación de una estrategia de mantenimiento optimizada y en donde el intervalo de servicio específico θ^*_i entre dos acciones de mantenimiento planificadas se elije para cada modo de fallo como un múltiplo del mínimo θ^*_1 de los intervalos de servicio específicos θ^*_i de los modos de fallo de alto impacto que es menor o igual que el intervalo de servicio óptimo θ_i del modo de fallo.
- 30 5. El método de una de las reivindicaciones 1 a 4, en donde se combina la siguiente información de entrada:
 - a. información recopilada sistemáticamente acerca de los modos de fallo posibles;
 - b. modelos de vida útil correspondientes que permiten la consideración de la información anterior acerca del riesgo de fallo;
 - c. condiciones de contorno de las acciones de reparación y mantenimiento.
- 35 6. El método de la reivindicación 5, en donde además se consideran valores de una tabla de contingencia con el fin de reflejar la precisión de la predicción con respecto a un modo de fallo.
 - 7. El método de una de las reivindicaciones 5 o 6, cuando estas reivindicaciones dependen de la reivindicación 4, en donde las condiciones de contorno de las acciones de reparación y mantenimiento son:
 - el tiempo normal de reparación t_{NRT,i}, que es el tiempo que se requiere normalmente para arreglar el fallo si se detecta durante un servicio de mantenimiento planificado;
 - el tiempo de reparación no planificado t_{URT,i}, es el tiempo que se requiere normalmente para arreglar el fallo si ocurre sin planificar:
 - el retardo de respuesta de emergencia $t_{\text{ERD,i}}$, que considera los tiempos de reposición de piezas de repuesto o los tiempos de configuración de herramientas potenciales, así como la disponibilidad de técnicos de servicio; y/o
- el tiempo de acceso de emergencia t_{EAT,i}, es el tiempo requerido para llevar a los técnicos y las herramientas a la ubicación del activo, en donde i representa el modo de fallo de alto impacto de orden i.
 - 8. El método de una de las reivindicaciones 4 o las reivindicaciones 5-7, cuando estas reivindicaciones dependen de la reivindicación 4 a 7, en donde el paso d comprende repetidamente

ES 2 742 298 T3

una clasificación de los modos de fallo de alto impacto según su efectividad sobre la disponibilidad y entonces decidir si el modo de fallo activo es adecuado para el mantenimiento basado en condición.





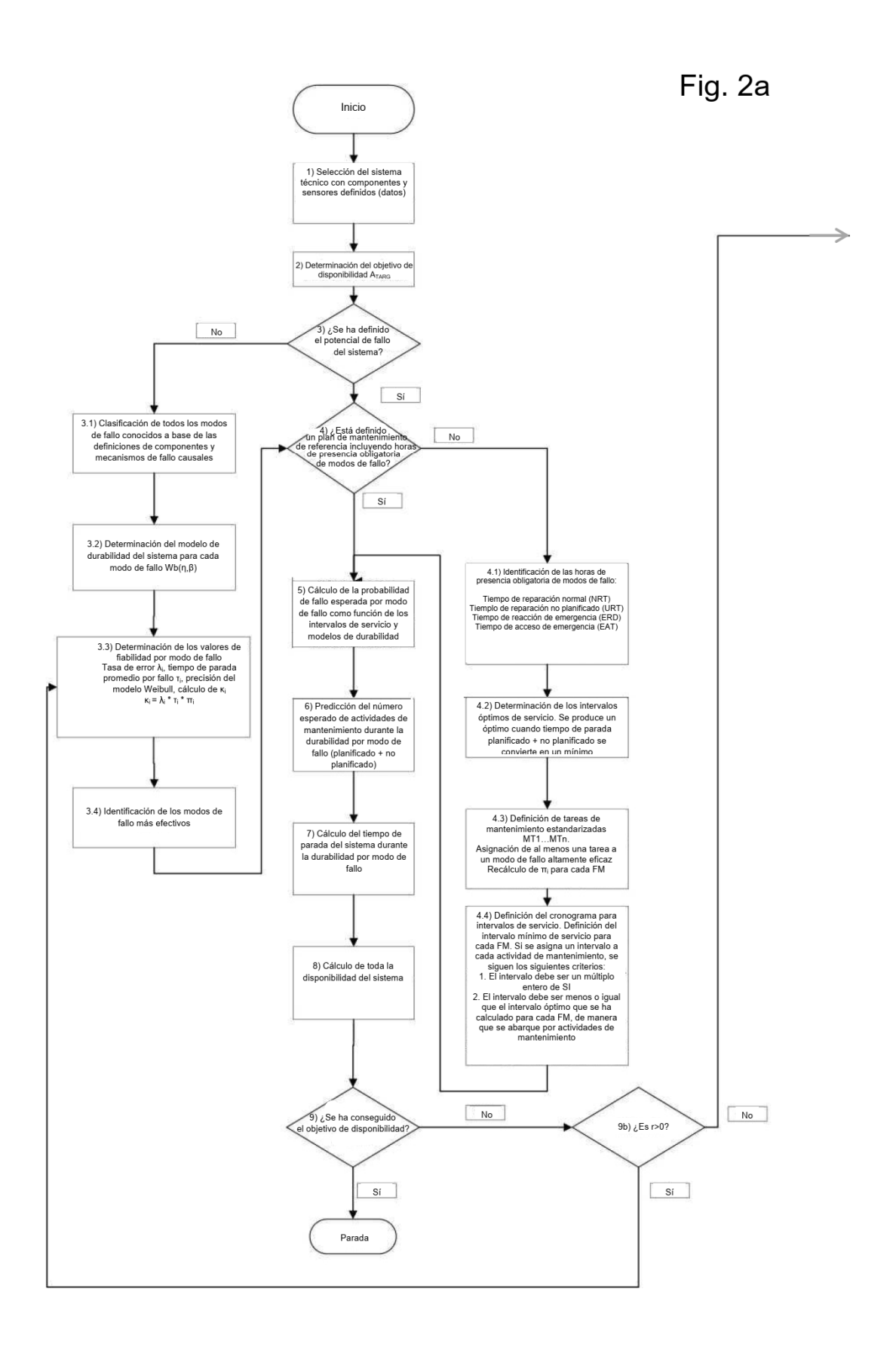


Fig. 2b

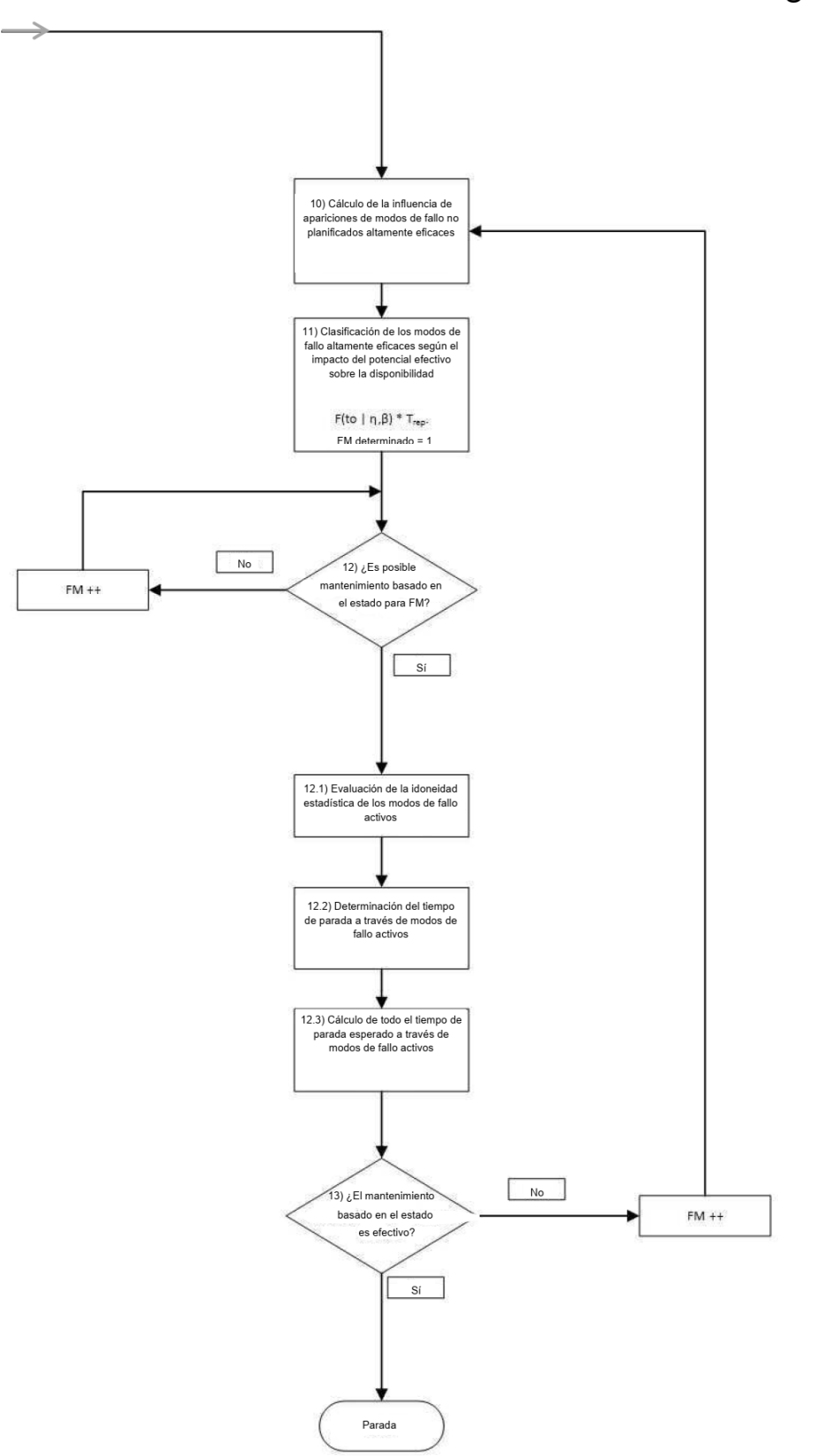


Fig. 3

		he detec COBD petinder petin disposibles and all an all posteologies of turbies of proposable de 10 minutes on all secuidos
Selection del Sistema tecnico	Aerogenerador de clase de 2MW	OPADA antinder antin disconible
1. Seleci	Aerogener	Los datos

Canales de datos disponibles, almacenados en \...\WT01Data\yyymmdd_hhmmss.csv

Descripción del sistema (árbol jerárquico)

300	Nombre del canal	Etiqueta	Unidad	Frecuencia de muestreo análisis sintáctico	análisis sintáctico
Cadena dinámica	Velocidad del viento	V_WND	s/w	1 Hz	10 min
aja de cambios	Dirección del viento	M_WND	۰	1 Hz	10 min
Rodamlento	Potencia eléctrica	P_EL	kW	1Hz	10 min
Engranaje	Temperatura del acelte de la caja de camblos	TOIL	ņ	10 min	10 min
California Intricante	Angulo de orientación	W YAW		1 Hz	10 min
Sistema de par motor	Velocidad del rotor	V_ROT	mdu	1 Hz	10 min
enerador	Velocidad del generador	V_GEN	rpm	1 Hz	10 min
Rodamlento	Temperatura del generador	T_GEN	ů	10 min	10 min
Commutador y escobillas	Corriente del generador	I_GEN	A	1 Hz	10 min
Sistems de refrigeración	Temperatura de rodamientos de la caja de cambios	los T_GBX	ņ	10 min	10 min
Calcasa	Balanceo de la torre	A_TWR	m/s3	1 Hz	10 min
Rotor	Vibración transmitida por la estructura	A_GBX	m/s ₅	25 kHz	H9
Codificator					
E)e					
Boblinado					
Delimina					

2. Establecer objetivo previsto de vida útil y disponibilidad del sistema

Sistema electrico
 Góndola
 Orientación
 Sistema de control
 Base
 Perfilería de instalación
 Mantenimiento

Observaciones	= 20 a	
Unidad	r	[1]
Valor	175200	0,966
Parámetro	9	Atabs

Fig. 4

	ri ri	3.1 Clasificación de modos de fallo	nodos de fallo		3.2 Parámetros de Weibull	de Weibull	3.3 Métricas de fiabilidad	e fiabilidad	
		on the state of th				Vida Utili caracteristica	Tasa de fallos promedio	Tlempo de Inactividad promedio	Tiempo de inactividad a largo piazo por modo de fallo
ID de modo de fallo	fallo Modo de fallo	atuauoduoo	Indicador de daño	Modelo de daño	β [1]	(H) [H	A [1/h]	t[h]	λ*τ[1]
1	Desgaste	Caja de camblos/ engranajes	A_GBX	trend(f1(A_GBX), "increasing")	2	34000	3,31876E-05	540	0,017921316
2	Fatiga de ciclo alto	Caja de camblos/ rodamientos	T_GEN	trend(T_GBX, "increasing")	я	38000	2,94696£-05	520	0,015324216
m	Erosión	Pala/Forro	P_EL	trend(P_EL, "decreasing")	æ	43000	2,60429E-05	320	0,008333742
4	Deposición	Sistema lubricante/ Filtro de aceite	TOIL	trend(T_OIL, "increasing")	3,5	11000	0,000101038	48	0,004849847
in	Envejecimiento térmico	Generador/Rotor/ Bobinado/Alslamlento	I_GEN	threshold(LGEN, LGEN_LIM, "upper") trend(V ROT/V GEN. "delta".	2,5	14000	8,05043£-05	100	0,008050432
9	Desgaste	Roton/Codification	V_ROT	DELTA_LIM)	2	41000	2,75214E-05	160	0,004403431
7	Fatiga de cicio alto	Base	A_TWR	trend(f1(A_TWR), "decreasing")	8	175200	6,39182£-06	672	0,004295302
00	Desgaste	Orientación//Engranaje	W_YAW	threshold(diff(W_WND), W_YAW), DELTA_LIM)	2	45000	2,50751E-05	140	0,003510513
č	90						Disponibilidad a largo plazo:	:ozejd o	0,933
		3.4	Identificación de	3.4 Identificación de modos de fallo de alto impacto	acto	ı			
			Precisión de modelo	ă	Indisponibilidad de más alta	Indisponibilidad ponderada			
			de vida útil	vida utili ponderada	a mas uaja	acultiniana	Modo de fallo		
ID de modo de fallo	Olisiao oconia olisia	- 1		$K = A^{\alpha} \mathcal{L} / \mathcal{R} [1]$	Rando r	Speri Kth [1]	ocedui oue ao		
I	Desgaste	caja ne cambino, engranajes		0,024	1	0,000	-		
5	Fatiga de cicio alto	Caja de cambios/rodamientos		0,020	2	990'0	1		
m		Pala/Forro	0,75	0,011	4	0,034	1		
47	Deposición Sisi	Sistema lubricante/ Filtro de aceite	acelle 0,6	0,008	S	0,0.23	1		
2	Envejecimiento térmio	Envelocimiento térmico Bobinado/Alstamiento		0,012	3	0,046	1		
9	Desgaste	Rotor/Codificador	8'0	900'0	9	0,015	0		
7	Fatiga de ciclo alto	Base	8'0	900'0	7	0,010	0		
90	Desgaste	Orientación//Engranaje	8,0	0,004	00	0,0004	0		

3. Potencial de fallo del sistema

Fig. 5

		 4.1 Base de mantenimiento estándar 	ento estándar				4.2 Intervalo	4.2 Intervalo óptimo de servicio	cio
			Tlempo de reparación normal	Tiempo de reparación no planificada	Tlempo de respuesta de emergencias	Tlempo de acceso de emergencias	# de acciones de servicio basadas en tiempo durante la vida útil	Indisponibilidad específica de modo de fallo	intervalo de servicio para indisponibilidad minima
ID de modo de fallo	llo Modo de fallo	Subsistemaloomponente	taser [h]	tuer [h]	t _{exp} [h]	tear [h]	Drgss [1]	1 - A [1]	θ [h]
1	Desdaste	Caja de cambios/engranajes	84	300	240	24	14,3	0,013	12288
2	ciclo alto	Caja de cambios/Rodamiento	84	300	240	24	12,8	0,008	13641
3		Pala/Forro	9	120	180	24	10,3	0,005	16939
4	ug.	Sistema lubricante/filtro de acelhe	00	66	24	24	38,6	0,002	4539
ın	onto termico	Generador/Rotor/Bobinado/Alslamlento	48	95	24	24	14,9	0,010	11746
		4.3 Tareas de mantenimiento estándar	ento estándar			4.4 Cronogr	4.4 Cronograma de intervalos de servicio	os de servicio	
			M1.sustflución de			Anchura de Intervalo de servício	Frequencia 6 de servicio	intervalo de servicio específico de modo de fallo	
ID de modo de fallo	llo Modo de fallo	Subsistema/componente	lubricante de caja de cambios	M2: sustitución de M3: Mediciones filtros y juntas del par de perno	M3: Mediciones del par de pernos	B*, [h]	Frecuencia	0* [h]	
		Cale de esselpte les essentes			<			0000	
7 .	Desgaste	Caja de cambide Englianajes	1 0	٠,	0 +		7 -	9706	
7	Fatiga de cicio alto	caja de camprositionalmento		4		-	2	13018	
m	Eroslón	Pala/Forro	0	0	-	4539	m	13618	
4	Deposición	Sistema lubricante/filtro de acelhe	1	1	0		1	4539	
25	Envejecimiento térmico	 Generador/Rotor/Bobinado/Alsiamiento 	0	1	0		2	6206	
5. Probabilida	od esperada de fallo	5. Probabilidad esperada de fallo por modo de fallo y número de acciones de mantenimiento no planificadas	ociones de mar	ntenimiento no pl	lanificadas				
							Nümero		
							estimado de		
							planificadas		
							durante la vida útil		
ID de modo de fallo	lo Modo de fallo	Subsistema/componente	β [1]	In] In	e* [h]	d	nume	MTTF [h]	
1	Desgaste	Caja de cambios/engranajes	2	34000	9079	690'0	-	30132	
2	Fatiga de cicio alto	Caja de camblos/Rodamlento	м	38000	13518	0,045	-	33933	
м	Erosión	Pala/Forro	м	43000	13518	0,031	0	38398	
4	Deposición	Sistema lubricante/filtro de acelhe		11000	4539	0,044	2	2686	
2	Envejecimiento térmio	Envejecimiento térmico Generador/Rotor/Bobinado/Alsiamiento	2,5	14000	9079	0,287	w	12422	

4. Plan de mantenimiento de referencia (solamente para alto impacto)

Fig. 6

8. Número esper	rado de actividades de	8. Número esperado de actividades de mantenimiento para mantenimiento basado en tiempo	en tiempo			
				Planificado	No planificado	Total
ID de modo de fallo	llo Modo de fallo	Subsistema/componente	theta* [h]	птвм [1]	n _{uPM} [1]	лтам + п _{ырм} [1]
1	Desdaste	Caja de cambios/engranajes	6206	19	1,1	20.1
2	Fatiga de cício alto	Caja de cambios/Rodamiento	13618	12	9,0	12,8
3	Erosión	Pala/Forro	13518	12	9.4	12,4
4	Deposición	Sistema lubricante/filtro de aceite	4539	38	9,-	39,8
2	Envejecimiento térmico	Generador/Rotor/Bobinado/Alsiamiento	6206	19	5,4	24,4
7. Tiempo de ina	7. Tiempo de inactividad del sistema					
			Tiempo de inactividad debido a servicio planificado	Tlempo de Inactividad debido a servicio no planificado	Tlempo de Inactividad total	
ID de modo de fallo	o Modo de fallo	Subsistema/componente	nm*tarr [h]	Pupw* (turr+texp+t _{tAD}) [h]	t _{DOWN} [h]	
1	Desgaste	Caja de cambios/engranajes	1596	614	2210	
2	Fatiga de ciclo alto	Caja de cambios/Rodamilento	1008	359	1367	
3	Erosión	Pala/Forro	720	117	837	
4	Deposición	Sistema lubricante/filtro de acelhe	304	100	404	
s	Envejecimiento térmico	Generador/Rotor/Bobinado/Alsiamiento	912	581	1473	
				Total:	6290	
8. Disponibilidad	1 para mantenimiento op	 Disponibilidad para mantenimiento optimizado basado en tiempo para modo de fallo de alto impacto 	fallo de alto impacto			
Asvs	ı					
0,952						
a commence of	O consequence of the second se					
9. Comparación	a uco peninginoden an	oolenvo				
Asrs	Атива	Decision				
0,952	0,988	Continuar con mantenimiento basado en condición	ondición			

Fig. 7

Impacto sobr	10. Impacto sobre la disponibilidad	Pe			
			Tiempo de inactividad a ser evitado potencialmente	dad a simente	
ID de modo de fallo 1 Des	Modo de fallo Desgaste	Subsistema/componente Caja de cambios/engranajes Cala de cambios/Rodamiento	### 8_/MTTF (t _{URI} +t _{EBD} +t _{GAD} -t _{GAD}) [h]	opteartani [h]	
	Fariga de Cholo ano Erosión Deposición Ervelecimiento térmico	Frosidon Pala Forro Pala Forro Deposición de acete Deposición Sistema lubricamento de acete Deposición Sistema lubricamento Remelecimiento Bérmico Generación (Robriscon) Acete Deposición de Acete Deposición			
ango de mo	11. Rango de modos de fallo según	jún impacto			
Casticación	D de modo de fallo	Modo de fallo	athenoamoo(strate) SO (S)		
- 2 5 5	1 2 8 1	Desgaste Fatiga de olcio alto Erosión	Caja de cambios lengranajes Caja de cambios Rodamiento Palai Forro		
4 W	4 10	Deposicion Envejecimiento térmio	Deposition Statement Contraction of activity Envejocimiento térmico Generador/Robinsco/Alsiamiento	mento	
		ID de modo de fallo	e fallo Modo de fallo	Subsistema/componente	
Modo de fallo activo en Beración 1:	in Beración 1:	1	Desgaste	Caja de camblos/engranajes	
eterminar h	orizonte de prono	12. Determinar horizonte de pronóstico para modo de fallo activo	activo		
	Modo de	Modo de fallo activo	Horizonte de pronóstico	Tlempo de reacción Decisión	
ID de modo de fallo	Modo de fallo	Subsistema/componente	T _p (h)	t ₉₁₀ +t _{6A1} [h]	
1	Descrission	Cala de cambios/engranales		540 El modo de fallo activo tiene potencial para mantenimiento basado en condición	ción

Fig. 8

																					El mantenimiento basado en condición es eficaz para el modo de fallo activo			
															,	dición				Decision	El mantenimiento bas			
	Probabilidad de falsas alarmas	$p_{\rm IP} / (1 - p)$	0,2	Total		0,24	0,76	1	condición	Tlempo de Inactividad [n]	84	24	624	0		to basado en cond	t* pown [h]	1144		t*ocum [h]	1144			
de fallo activo		Subsistema/componente	Caja de camblos engranajes	Sano		0,186	0,745	0,931	12.2 Tiempo de inactividad para modo de fallo activo bajo mantenimiento basado en condición	Componente de tiempo [n]	tτρ	dily	ten	t _{TN}		 Tiempo de inactividad esperado total para modo de fallo activo con mantenimiento basado en condición 	n _{CBM} [1]	9	13. Decidir si es eficaz el mantenimiento basado en condición	torum [h]			Decisión	Objetivo de disponibilidad alcanzado. Terminar proceso
icción para modo		Modo de fallo	Desdaste	Fallo		0,055	0,014	690'0	vidad para modo	Estado real	Fallo	Sano	Fallo	Sano		vidad esperado to	Modo de fallo	Desdaste	az el mantenimien	Modo de fallo	Desdaste	Objetho	ATABG	996'0
12.1 Precisión de predicción para modo de fallo activo		ID de modo de fallo	1	Estado real	Pronóstico	Fallo Indicado	Fallo no Indicado	Total	12.2 Tiempo de inacti	Prediction	Fallo Indicado	Fallo Indicado	Fallo no Indicado	Fallo no Indicado		12.3 Tiempo de inacti	ID de modo de fallo	1	13. Decidir si es efic	ID de modo de fallo	1	Disponibilidad	Asrs	0,970